

波浪に起因する堤脚からの土砂吸い出し防止工法に関する実験

徳島大学工学部 正会員 三井 宏
 徳島大学人文学院 学生員 ○山田典宏
 和歌山県立 正会員 藤山真希
 徳島大学工学部 正会員 加藤憲一

研究目的 海岸堤防堤脚部の洗掘防止として大量の消波ブロックが投入されることが多いが、堤脚洗掘に伴う堤体土砂の吸い出しを必ずしも防止できないのが現状である。このような堤脚洗掘に伴う堤体土砂の吸い出し防止工法としては、斜材ケーリンで根固めることを考えられる。そこで模型実験によりこの工法の効果を調べ、在来工法と比較するの大本研究の目的である。

実験装置および実験方法 実験に用いた造波水路は長さ30m、幅1m、水深50cmのものである。模型前面で発生する水面の横振動を防ぐために、水路の中心軸に沿って整波板を、また再反射防止のために水路中央部に水理防波堤を設けてある。模型としては、中央粒径0.26mmの自然砂を初期海底地形1:10の一様勾配に敷き、その上に表通り勾配1:0.5、堤脚水深7cm、根入れ長さ5cmの滑面壁を設置し、背後を同じ砂で埋めて模型堤体とした。模型消波ブロックは、1箇の重量が125gの商品名「三連ブロック」を用い、また模型斜材ケーリン（商品名ネプチーン）としては長さ12cm、幅8cm、高さ9cmで後部にモルタルを注入することにより透過性から不透過性にできるものを利用した。捨石基礎には平均粒径15cmの自然砂利を一層に敷き詰めて用いた。

実験計画波は波形勾配0.048、周期1.02秒の暴風型の波1種類である。洗掘防止工法として堤脚に透過性斜材ケーリン、不透過性斜材ケーリン、消波ブロックを設置した場合それぞれ捨石基礎の有無による2種類の6種類がある堤脚に何も設置しない場合の合計7種類の実験を行った。

実験結果および考察 図-1、2にそれぞれ堤内地下水位振動幅の時間的変化、堤前面での洗掘深の時間的変化を示す。図-1より捨石基礎が有る場合はどのケースも振動幅の変化は小さく、その他のケースではどれも振動幅が1cm以上急激に増大する部分が認められる。これらへ振動幅が急激に変化する時刻とは吸い出し現象が発生しているものと考えられる。この吸い出し発生時間でみると限りでは、捨石基礎が無い場合に消波ブロック、透過性斜材ケーリン、不透過性斜材ケーリンの順で有効であると言える。また、図-2から捨石基礎が有る場合は、透過性斜材ケーリンの一部を除いて全てのケースで堆積、捨石基礎が無い場合は洗掘されることわかる。このことから、捨石基礎を設置することによって得られるarmoring効果が、吸い出し防止にはかなり有効であると言える。

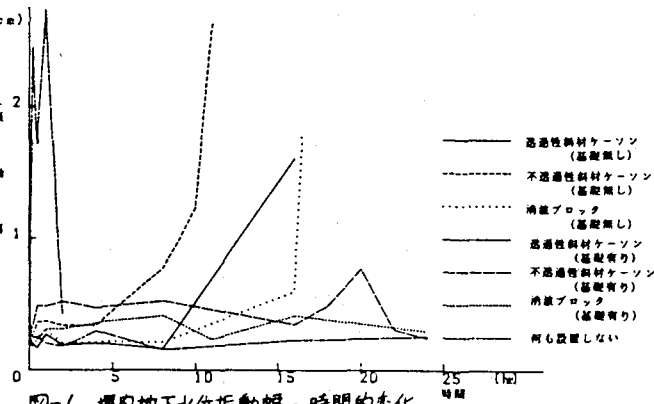


図-1 堤内地下水位振動幅の時間的変化

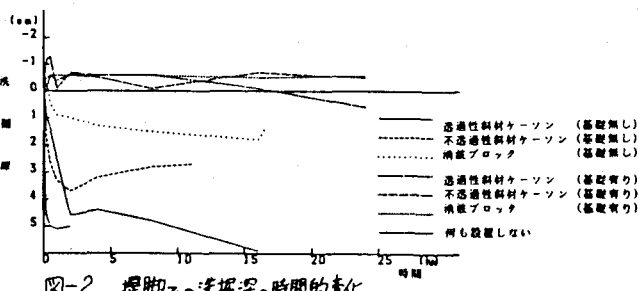


図-2 堤脚での洗掘深の時間的変化

常に漂砂量について考察する。2次元海浜断面変化と漂砂量の関係は、岩垣の研究によると次のようである。汀線と直角沖方向にX軸、船直上向きにY軸をとり、任意地点xの断面を通過平均漂砂量を \bar{q} (冲向きを正)とすれば、漂砂量 q と海底の変動量 ζ との間の質量保有式は

$$\frac{\partial \zeta}{\partial t} + \frac{1}{(1-\lambda)} \cdot \frac{\partial q}{\partial x} = 0$$

で表される。漂砂量が0となる陸上の地点 $-x_0$ から漂砂量が \bar{q} となる地点 x_0 までの式を積分すると

$$\frac{\zeta}{1-\lambda} = - \int_{-x_0}^{x_0} \frac{\partial q}{\partial x} dx$$

となる。この式の左辺はX地点を通過する岸-沖方向漂砂量を表し、右辺はX地点から陸側の地点までの海底断面の面積変化量を表している。したがって、任意地点を通過する漂砂量はその地点より岸側の海底断面の面積変化量で表されることとなる。

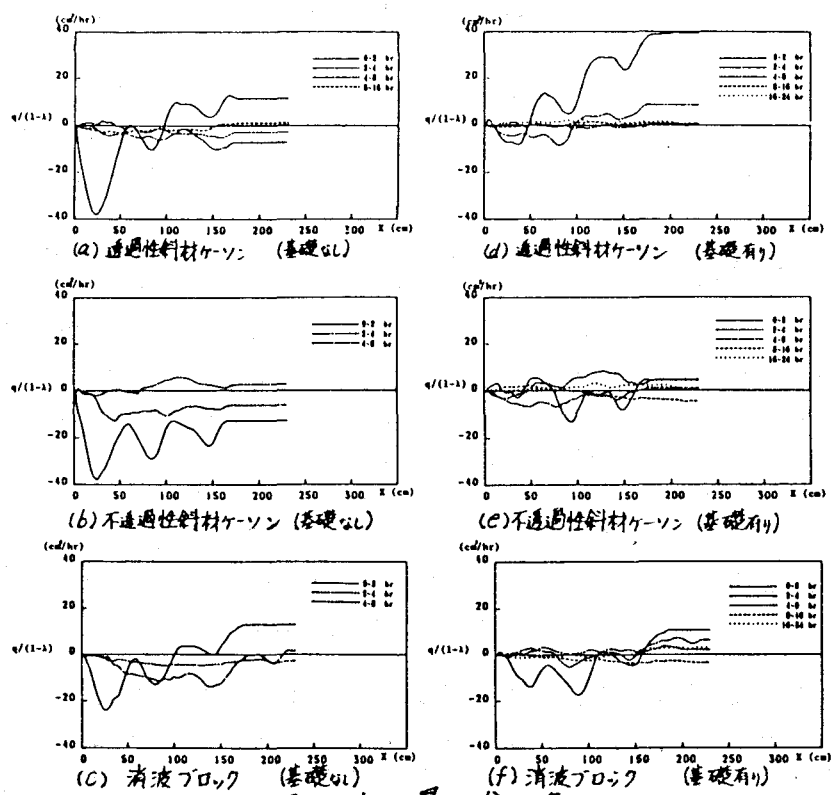


図-3 漂 砂 量 分 布

この式の差分形 $\frac{\zeta}{1-\lambda} = \frac{1}{\Delta x} \left(-\frac{\partial q}{\partial x} \right)_i \cdot \Delta x_i$ を用いて求めた漂砂量分布を図-3に示す。なお、 $\Delta x = 5\text{ cm}$ 、 $\Delta t = 2\text{ 時間}$ 、4時間または8時間であり、これらの図では、岸向きの漂砂量を正にとっている。これらの図の0~2時間後の漂砂量分布について見れば、捨石基礎がない場合、沖方向の漂砂量は不透過性ケーリン、透過性ケーリン、消波ブロックの順に大きく、これは吸い出し発生までの時間の順序に一致している。また、捨石基礎がある場合の沖方向漂砂量は、基礎がない場合に比べて少ない。さらに堤壁面より始めまでの部分を見れば、不透過性ケーリンの場合、沖方向漂砂量と岸方向漂砂量はほぼ等しく、透過性ケーリンの場合、沖方向漂砂量が卓越し、消波ブロックの場合、そのほとんどが沖方向漂砂量となっている。以上のことより、捨石基礎がある場合の方が堤脚洗掘防止効果がだんぜん優れており、不透過性ケーリン、透過性ケーリン、消波ブロックの順序で沖方向漂砂量が少ない。基礎がない場合は消波ブロック、透過性ケーリン、不透過性ケーリンの順に沖方向漂砂量が少ない。

結論

- 1) 捨石基礎がない場合は、消波ブロック、不透過性斜材ケーリン、透過性斜材ケーリンの順序で吸い出し防止効果があるため、いずれも長時間後では吸い出し発生した。
- 2) 捨石基礎がある場合は、どのケースも吸い出しは発生しなかった。
- 3) 堤内に設けた井戸の水位振動を調べれば、吸い出しを発生しているかどうかを知ることができる。

参考文献 1)岩垣雄一：海浜断面形状と漂砂分布の関係について 第3回年講